



NetWorks Sp. z o.o.
Laboratorium Badań Środowiskowych
ul. Józefa Piusa Dziekońskiego 3
00-728 Warszawa
e-mail: Laboratorium@networks.pl



AB 419

S P R A W O Z D A N I E 10698/2025/OS
Z POMIARÓW PÓL ELEKTROMAGNETYCZNYCH
WYKONANYCH DLA POTRZEB OCHRONY ŚRODOWISKA

Badany obiekt: Instalacja radiokomunikacyjna Orange Polska S.A.
Numer i nazwa: 3561 (35151N!) WODZISŁAW RADLIN (KRY_RADLIN_MARCEL)
Adres: RADLIN, KORFANTEGO 52, Powiat wodzisławski, WOJ. ŚLĄSKIE

Data wykonania pomiarów: 2025-12-18

Sprawozdanie z badań bez pisemnej zgody laboratorium nie może być powielane inaczej niż w całości.
Wynik przedstawione w niniejszym sprawozdaniu odnoszą się wyłącznie do badanego obiektu i do warunków i konfiguracji urządzeń w dniu wykonywania pomiarów.

1. Właściciel badanego obiektu:

Orange Polska S.A., Al. Jerozolimskie 160, 02-326 Warszawa

2. Zleceniodawca:

Orange Polska S.A., Al. Jerozolimskie 160, 02-326 Warszawa

3. Przedstawiciel zleceniodawcy:

NetWorks Sp. z o.o.

4. Zakres zlecenia:

Wykonanie badania i opracowanie sprawozdania z pomiarów natężenia pola elektrycznego i pola magnetycznego dla instalacji radiokomunikacyjnej Orange Polska S.A. zlokalizowanej w miejscowości RADLIN, KORFANTEGO 52.

5. Cel zlecenia:

Wykonanie pomiarów pól elektromagnetycznych w otoczeniu instalacji radiokomunikacyjnej 3561 (35151N!) WODZISŁAW RADLIN (KRY_RADLIN_MARCEL) w odniesieniu do wymagań określonych w *Rozporządzeniu Ministra Klimatu z dnia 17 lutego 2020 r. w sprawie sposobów sprawdzania dotrzymania dopuszczalnych poziomów pól elektromagnetycznych w środowisku (Dz.U. 2022 poz. 2630)*.

6. Pomiary zostały wykonane przez:

Bajer Sebastian
Skrobel Wojciech

7. Informacje o źródłach pól elektromagnetycznych

7.1. Sposób identyfikacji badanych źródeł pól elektromagnetycznych

Identyfikacji źródeł i parametrów technicznych dokonano na podstawie analizy dokumentacji dotyczącej zlecenia oraz obserwacji miejsca wykonywania badań.

7.2. Opis miejsca zainstalowania anten i urządzeń technicznych. Opis obiektu badań i jego otoczenia

Instalacja radiokomunikacyjna zlokalizowana jest na terenie ogrodzonym. Anteny zawieszono na kominie. Urządzenia sterujące oraz zasilające zainstalowano w szafie outdoor u podstawy komina. Wokół instalacji znajdują się tereny przemysłowe.

Instalacja radiokomunikacyjna jest obiektem bezobsługowym. Okresowe stanowiska pracy związane są z prowadzonymi w zależności od potrzeb konserwacjami, przeglądami, strojeniem i naprawami.

7.3. Parametry techniczne źródła pola elektromagnetycznego

Dane przedstawiające maksymalne parametry pracy instalacji przekazane przez zleceniodawcę:

Parametry systemu nadawczo-odbiorczego:

Charakterystyka promieniowania		Kierunkowa					
Rzeczywisty czas pracy [h/dobę]		24					
Warunki pracy		Znamionowe					
Rodzaj wytwarzanego pola		Stacjonarne					
Lp.	Częstotliwość lub zakresy częstotliwości pracy [MHz]	Typ/producent anteny	liczba anten	Azymut [°]	kąt pochylenia [°]	Wysokość środka elektrycznego anteny [m n.p.t]	Równoważna moc promieniowana izotropowo (EIRP) [W]
1	800/900/1800/2100/2600	ASI4518R39v07 Huawei	1	85	2-12**/2-12**/2-12**/ 2-12**/2-12**	35	29001
2	3600	AAU5339W Huawei	1	85	-2-13**	35	57572
3	800/900/1800/2100/2600	ASI4518R39v07 Huawei	1	222	2-12**/2-12**/2-12**/ 2-12**/2-12**	35	29001
4	3600	AAU5339W Huawei	1	222	-2-13**	35	57572
5	800/900/1800/2100/2600	ASI4518R39v07 Huawei	1	320	2-12**/2-12**/2-12**/ 2-12**/2-12**	35	29001
6	3600	AAU5339W Huawei	1	320	-2-13**	35	57572

* wskazane wartości kąta pochylenia anten, zgodnie z informacją uzyskaną od zleceniodawcy, są wartościami stałymi
** pomiary wykonano zgodnie z pkt 13., ppkt 2 załącznika do Rozporządzenia Ministra Klimatu z dnia 17 lutego 2020 r. (Dz. U. 2022, poz. 2630).

Transmisja realizowana drogą kablową

7.4 Inne źródła pól elektromagnetycznych

Na podstawie informacji otrzymanych od użytkownika oraz obserwacji otoczenia miejsca wykonywania pomiarów nie stwierdzono występowania innych źródeł pola-EM.

8. Opis pomiarów

8.1. Metoda badań

Zgodna z rozporządzeniem Ministra Klimatu z dnia 17 lutego 2020 r. w sprawie sposobów sprawdzania dotrzymania dopuszczalnych poziomów pól elektromagnetycznych w środowisku (Dz.U. 2022 poz. 2630), określona w pkt 25 ppkt 1 załącznika do niniejszego rozporządzenia.

8.2. Termin pomiarów i warunki środowiskowe

Podczas wykonywania pomiarów pól elektromagnetycznych nie występowały opady atmosferyczne. Wyniki pomiaru parametrów pogodowych przedstawia poniższa tabela:

Data [rrrr-mm-dd]	Godzina [hh:mm-hh:mm]	Warunki środowiskowe			
		Temperatura [°C]		Wilgotność względna [%]	
2025-12-18	12:40-14:00	Przed pomiarem	Po pomiarach	Przed pomiarem	Po pomiarach
		4.2	6.4	72.1	72.2

Przedstawione wyżej warunki środowiskowe, występujące podczas wykonywania pomiarów pól elektromagnetycznych, są zgodne ze specyfikacją techniczną użytego zestawu pomiarowego.

8.3. Warunki pracy urządzeń nadawczych

Podczas pomiarów w przypadku uzyskania wyniku pomiaru szerokopasmowego wykonanego zastosowaną metodą, dla zakresów częstotliwości od 10 MHz do 300 GHz, powiększonego o rozszerzoną niepewność pomiaru U dla współczynnika rozszerzenia $k = 2$ przekraczającego 70% najniższej dopuszczalnej wartości składowej elektrycznej lub magnetycznej pola dla objętych pomiarami zakresów częstotliwości, uwzględnia się poprawki pomiarowe przekazane przez zleceniodawcę, umożliwiające uwzględnienie maksymalnych parametrów pracy instalacji zgodnie z pkt 7 załącznika do Rozporządzeniem Ministra Klimatu z dnia 17 lutego 2020 r. w sprawie sposobów sprawdzania dotrzymania dopuszczalnych poziomów pól elektromagnetycznych w środowisku (Dz. U. 2022, poz. 2630) zaznaczając, że wymagane jest wykonanie pomiaru z wykorzystaniem miernika selektywnego. W przypadku uzyskania wyniku pomiaru szerokopasmowego wykonanego zastosowaną metodą, dla zakresów częstotliwości od 10 MHz do 300 GHz, powiększonego o rozszerzoną niepewność pomiaru U dla współczynnika rozszerzenia $k = 2$ nieprzekraczającego 70% najniższej dopuszczalnej wartości składowej elektrycznej lub magnetycznej pola dla objętych pomiarami zakresów częstotliwości, nie uwzględnia się poprawek pomiarowych.

8.4. Wyposażenie pomiarowe

Zestaw pomiarowy służący do pomiaru natężenia składowej elektrycznej pola elektromagnetycznego złożony z szerokopasmowego miernika i sondy pomiarowej:

Oznaczenie miernika	Producent	Model	Numer fabryczny	Oznaczenie sondy	Producent	Model	Numer fabryczny
MF-10	Narda Safety Test Solution	Miernik pól elektromagnetycznych Narda FieldMan	C-0173	SF-19	Narda Safety Test Solution	Sonda EFD-9091	A-0069

Mierniki natężenia pola elektromagnetycznego podlegają okresowemu sprawdzeniu zgodnie z procedurą wewnętrzną P-03 i PB-01. Świadectwo wzorcowania zestawu pomiarowego z dnia 2 grudnia 2024 o numerze LWiMP/W/410/24 wydane przez Politechnika Wrocławską. Data ważności świadectwa wzorcowania: 2 grudnia 2026 (zgodnie z procedurą wewnętrzną P-03).

Termohigrometr:

Oznaczenie:	TH-26	Producent:	AZ INSTRUMENT CORP	Model:	Termohigrometr AZ8706
-------------	-------	------------	--------------------	--------	-----------------------

Data ważności świadectwa wzorcowania: 26 listopada 2028 (zgodnie z procedurą wewnętrzną P-03).

Dalmierz:

Oznaczenie	Producent	Typ	Numer seryjny	Nr świadectwa wzorcowania	Data świadectwa wzorcowania
D-20	Leica	Dalmierz Leica Disto D510	1030440615	Z3- Z32.4180.152.2023.3253.3	23 października 2023

Data ważności świadectwa wzorcowania: 23 października 2033 (zgodnie z procedurą wewnętrzną P-03).

Odbiornik GNSS:

Odbiornik GNSS wbudowany w miernik natężenia pola elektromagnetycznego użyty podczas pomiarów	Producent	Model
	UBlox	NEO-M8T

Odbiorniki podlegają okresowemu sprawdzeniu zgodnie z procedurą wewnętrzną P-03.

9. Wyniki pomiarów
Pole elektryczne

Nr pionu	Opis umiejscowienia pionu (punktu) pomiarowego	Wysokość pomiaru [m]	Zmierzona wartość natężenia pola elektrycznego E [V/m] ^{1,5}	Wartość natężenia pola elektrycznego powiększona o niepewność pomiaru ⁴ E [V/m]	Wskaźnikowa wartość poziomu emisji pól elektromagnetycznych WME ³	Współrzędne geograficzne pionu (punktu) pomiarowego ²
1	DPP - w płaszczyźnie otworu okiennego klatki schodowej, piętro 3, Wojciecha Korfantego 52, Radlin	0.5	1.3	1.7	0.06	50°2'37.7" 18°29'5.6"
2	DPP - w płaszczyźnie otworu okiennego Salki szkoleniowej 12, piętro 1, Wojciecha Korfantego 52, Radlin	2.0	1.3	1.7	0.06	50°2'37.3" 18°29'7.4"
3	GKP w odległości poziomej 27m od anteny sektorowej az. 85°	2.0	2.2	2.9	0.1	50°2'37.0" 18°29'4.9"
4	GKP w odległości poziomej 86m od anteny sektorowej az. 85°	0.3-2.0	<1.0*	1.3	0.05	50°2'37.0" 18°29'7.8"
-	GKP w odległości poziomej 120m od anteny sektorowej az. 85°	2.0	1.5	2	0.07	50°2'37.0" 18°29'9.6"
6	GKP w odległości poziomej 15m od anteny sektorowej az. 320°	0.3-2.0	<1.0*	1.3	0.05	50°2'37.3" 18°29'2.8"
7	GKP w odległości poziomej 83m od anteny sektorowej az. 320°	2.0	1.5	2	0.07	50°2'38.8" 18°29'0.6"
8	GKP w odległości poziomej 136m od anteny sektorowej az. 320°	0.3-2.0	<1.0*	1.3	0.05	50°2'40.2" 18°28'58.8"
-	GKP w odległości poziomej 232m od anteny sektorowej az. 320°	2.0	2.2	2.9	0.1	50°2'42.7" 18°28'55.6"
10	GKP w odległości poziomej 54m od anteny sektorowej az. 222°	0.3-2.0	<1.0*	1.3	0.05	50°2'35.2" 18°29'1.3"
11	GKP w odległości poziomej 122m od anteny sektorowej az. 222°	0.3-2.0	<1.0*	1.3	0.05	50°2'33.7" 18°28'59.2"
-	GKP w odległości poziomej 742m od anteny sektorowej az. 222°	0.3-2.0	<1.0*	1.3	0.05	50°2'2.0" 18°28'14.2"
13	PKP na az. 6° w odległości poziomej 38m od anteny sektorowej az. 320°	2.0	2.1	2.7	0.1	50°2'38.0" 18°29'3.5"
14	PKP na az. 350° w odległości poziomej 46m od anteny sektorowej az. 320°	2.0	1.7	2.2	0.08	50°2'38.4" 18°29'2.8"
15	PKP na az. 335° w odległości poziomej 48m od anteny sektorowej az. 320°	2.0	1.5	2	0.07	50°2'38.4" 18°29'2.0"
16	PKP na az. 305° w odległości poziomej 68m od anteny sektorowej az. 320°	0.3-2.0	<1.0*	1.3	0.05	50°2'38.0" 18°29'0.2"
17	PKP na az. 290° w odległości poziomej 60m od anteny sektorowej az. 320°	0.3-2.0	<1.0*	1.3	0.05	50°2'37.7" 18°29'0.2"
-	PKP na az. 274° w odległości poziomej 118m od anteny sektorowej az. 320°	0.3-2.0	<1.0*	1.3	0.05	50°2'37.0" 18°28'57.4"
19	PKP na az. 268° w odległości poziomej 92m od anteny sektorowej az. 222°	0.3-2.0	<1.0*	1.3	0.05	50°2'36.6" 18°28'58.8"
20	PKP na az. 252° w odległości poziomej 65m od anteny sektorowej az. 222°	0.3-2.0	<1.0*	1.3	0.05	50°2'35.9" 18°29'0.2"
21	PKP na az. 237° w odległości poziomej 54m od anteny sektorowej az. 222°	0.3-2.0	<1.0*	1.3	0.05	50°2'35.5" 18°29'1.0"
22	PKP na az. 207° w odległości poziomej 49m od anteny sektorowej az. 222°	0.3-2.0	<1.0*	1.3	0.05	50°2'35.2" 18°29'2.0"
23	PKP na az. 192° w odległości poziomej 59m od anteny sektorowej az. 222°	0.3-2.0	<1.0*	1.3	0.05	50°2'34.8" 18°29'2.8"
24	PKP na az. 176° w odległości poziomej 62m od anteny sektorowej az. 222°	0.3-2.0	<1.0*	1.3	0.05	50°2'34.4" 18°29'3.5"
25	PKP na az. 133° w odległości poziomej 32m od anteny sektorowej az. 85°	0.3-2.0	<1.0*	1.3	0.05	50°2'35.9" 18°29'4.9"
26	PKP na az. 115° w odległości poziomej 97m od anteny sektorowej az. 85°	0.3-2.0	<1.0*	1.3	0.05	50°2'35.5" 18°29'8.2"
27	PKP na az. 100° w odległości poziomej 47m od anteny sektorowej az. 85°	0.3-2.0	<1.0*	1.3	0.05	50°2'36.6" 18°29'6.0"
28	PKP na az. 70° w odległości poziomej 54m od anteny sektorowej az. 85°	0.3-2.0	<1.0*	1.3	0.05	50°2'37.3" 18°29'6.4"
29	PKP na az. 39° w odległości poziomej 23m od anteny sektorowej az. 85°	0.3-2.0	<1.0*	1.3	0.05	50°2'37.3" 18°29'4.6"
30	PKP na az. 55° w odległości poziomej 97m od anteny sektorowej az. 85°	0.3-2.0	<1.0*	1.3	0.05	50°2'38.4" 18°29'7.8"
-	GKP w odległości poziomej 247m od anteny sektorowej az. 85°	2.0	1.4	1.8	0.07	50°2'37.3" 18°29'16.1"
-	GKP w odległości poziomej 543m od anteny sektorowej az. 320°	0.3-2.0	<1.0*	1.3	0.05	50°2'50.3" 18°28'45.5"

Sprawozdanie z badań bez pisemnej zgody laboratorium nie może być powielane inaczej niż w całości.

Wynik przedstawione w niniejszym sprawozdaniu odnoszą się wyłącznie do badanego obiektu i do warunków i konfiguracji urządzeń w dniu wykonywania pomiarów.

Pole magnetyczne (wyznaczone na podstawie pomiaru wartości natężenia pola elektrycznego)

Nr pionu	Opis umiejscowienia pionu (punktu) pomiarowego	Wysokość pomiaru [m]	Wartość natężenia pola magnetycznego H [A/m] ¹	Wartość natężenia pola magnetycznego powiększona o niepewność pomiaru ⁴ H [A/m]	Wskaźnikowa wartość poziomu emisji pól elektromagnetycznych WM _H ³	Współrzędne geograficzne pionu (punktu) pomiarowego ²
1	DPP - w płaszczyźnie otworu okiennego klatki schodowej, piętro 3, Wojciecha Korfantego 52, Radlin	0.5	0.003	0.004	0.06	50°2'37.7" 18°29'5.6"
2	DPP - w płaszczyźnie otworu okiennego Salki szkoleniowej 12, piętro 1, Wojciecha Korfantego 52, Radlin	2.0	0.003	0.004	0.06	50°2'37.3" 18°29'7.4"
3	GKP w odległości poziomej 27m od anteny sektorowej az. 85°	2.0	0.006	0.008	0.1	50°2'37.0" 18°29'4.9"
4	GKP w odległości poziomej 86m od anteny sektorowej az. 85°	0.3-2.0	<0.003*	0.003	0.05	50°2'37.0" 18°29'7.8"
-	GKP w odległości poziomej 120m od anteny sektorowej az. 85°	2.0	0.004	0.005	0.07	50°2'37.0" 18°29'9.6"
6	GKP w odległości poziomej 15m od anteny sektorowej az. 320°	0.3-2.0	<0.003*	0.003	0.05	50°2'37.3" 18°29'2.8"
7	GKP w odległości poziomej 83m od anteny sektorowej az. 320°	2.0	0.004	0.005	0.07	50°2'38.8" 18°29'0.6"
8	GKP w odległości poziomej 136m od anteny sektorowej az. 320°	0.3-2.0	<0.003*	0.003	0.05	50°2'40.2" 18°28'58.8"
-	GKP w odległości poziomej 232m od anteny sektorowej az. 320°	2.0	0.006	0.008	0.1	50°2'42.7" 18°28'55.6"
10	GKP w odległości poziomej 54m od anteny sektorowej az. 222°	0.3-2.0	<0.003*	0.003	0.05	50°2'35.2" 18°29'1.3"
11	GKP w odległości poziomej 122m od anteny sektorowej az. 222°	0.3-2.0	<0.003*	0.003	0.05	50°2'33.7" 18°28'59.2"
-	GKP w odległości poziomej 742m od anteny sektorowej az. 222°	0.3-2.0	<0.003*	0.003	0.05	50°2'2.0" 18°28'14.2"
13	PKP na az. 6° w odległości poziomej 38m od anteny sektorowej az. 320°	2.0	0.006	0.007	0.1	50°2'38.0" 18°29'3.5"
14	PKP na az. 350° w odległości poziomej 46m od anteny sektorowej az. 320°	2.0	0.005	0.006	0.08	50°2'38.4" 18°29'2.8"
15	PKP na az. 335° w odległości poziomej 48m od anteny sektorowej az. 320°	2.0	0.004	0.005	0.07	50°2'38.4" 18°29'2.0"
16	PKP na az. 305° w odległości poziomej 68m od anteny sektorowej az. 320°	0.3-2.0	<0.003*	0.003	0.05	50°2'38.0" 18°29'0.2"
17	PKP na az. 290° w odległości poziomej 60m od anteny sektorowej az. 320°	0.3-2.0	<0.003*	0.003	0.05	50°2'37.7" 18°29'0.2"
-	PKP na az. 274° w odległości poziomej 118m od anteny sektorowej az. 320°	0.3-2.0	<0.003*	0.003	0.05	50°2'37.0" 18°28'57.4"
19	PKP na az. 268° w odległości poziomej 92m od anteny sektorowej az. 222°	0.3-2.0	<0.003*	0.003	0.05	50°2'36.6" 18°28'58.8"
20	PKP na az. 252° w odległości poziomej 65m od anteny sektorowej az. 222°	0.3-2.0	<0.003*	0.003	0.05	50°2'35.9" 18°29'0.2"
21	PKP na az. 237° w odległości poziomej 54m od anteny sektorowej az. 222°	0.3-2.0	<0.003*	0.003	0.05	50°2'35.5" 18°29'1.0"
22	PKP na az. 207° w odległości poziomej 49m od anteny sektorowej az. 222°	0.3-2.0	<0.003*	0.003	0.05	50°2'35.2" 18°29'2.0"
23	PKP na az. 192° w odległości poziomej 59m od anteny sektorowej az. 222°	0.3-2.0	<0.003*	0.003	0.05	50°2'34.8" 18°29'2.8"
24	PKP na az. 176° w odległości poziomej 62m od anteny sektorowej az. 222°	0.3-2.0	<0.003*	0.003	0.05	50°2'34.4" 18°29'3.5"
25	PKP na az. 133° w odległości poziomej 32m od anteny sektorowej az. 85°	0.3-2.0	<0.003*	0.003	0.05	50°2'35.9" 18°29'4.9"
26	PKP na az. 115° w odległości poziomej 97m od anteny sektorowej az. 85°	0.3-2.0	<0.003*	0.003	0.05	50°2'35.5" 18°29'8.2"
27	PKP na az. 100° w odległości poziomej 47m od anteny sektorowej az. 85°	0.3-2.0	<0.003*	0.003	0.05	50°2'36.6" 18°29'6.0"
28	PKP na az. 70° w odległości poziomej 54m od anteny sektorowej az. 85°	0.3-2.0	<0.003*	0.003	0.05	50°2'37.3" 18°29'6.4"
29	PKP na az. 39° w odległości poziomej 23m od anteny sektorowej az. 85°	0.3-2.0	<0.003*	0.003	0.05	50°2'37.3" 18°29'4.6"
30	PKP na az. 55° w odległości poziomej 97m od anteny sektorowej az. 85°	0.3-2.0	<0.003*	0.003	0.05	50°2'38.4" 18°29'7.8"
-	GKP w odległości poziomej 247m od anteny sektorowej az. 85°	2.0	0.004	0.005	0.07	50°2'37.3" 18°29'16.1"
-	GKP w odległości poziomej 543m od anteny sektorowej az. 320°	0.3-2.0	<0.003*	0.003	0.05	50°2'50.3" 18°28'45.5"

Sprawozdanie z badań bez pisemnej zgody laboratorium nie może być powielane inaczej niż w całości.

Wynik przedstawione w niniejszym sprawozdaniu odnoszą się wyłącznie do badanego obiektu i do warunków i konfiguracji urządzeń w dniu wykonywania pomiarów.

GKP – Główny Kierunek Pomiarowy
DPP – Dodatkowy Pion Pomiarowy
PKP – Pomocniczy Kierunek Pomiarowy

¹ wyniki oznaczone * są wynikami poniżej czułości zestawu pomiarowego i są wynikami spoza zakresu akredytacji. Do obliczenia wyniku skorygowanego przyjęto wartość skorelowaną z rzeczywistym wynikiem pomiaru - dolną granicę akredytowanego zakresu pomiarowego metody

² współrzędne geograficzne pozyskane metodą pomiaru bezpośredniego

³ do wyznaczenia wartości wskaźnikowej W_{ME} i W_{MH} przyjęto na podstawie uzgodnień z klientem oraz rozpoznania źródeł, jako wartości dopuszczalne pola elektrycznego i magnetycznego odpowiednio 28 V/m i 0,073 A/m.

⁴ do wyznaczenia niepewności dla wyników poniżej czułości zestawu pomiarowego, przyjęto niepewność dla minimalnej wartości z zakresu pomiarowego.

⁵ maksymalna wartość chwilowa

Niepewność oszacowano zgodnie z dokumentem P-03 „Procedura nadzoru nad wyposażeniem” w postaci niepewności rozszerzonej wynikającej z niepewności standardowej pomnożonej przez współczynnik rozszerzenia $k=2$.

Całkowita szacowana niepewność rozszerzona składowej E wynosi odpowiednio: 30.3% dla częstotliwości do 4 GHz

Umieszczenie pionów (punktów) pomiarowych przedstawiono w załączniku nr 2 do niniejszego sprawozdania.

W obszarze pomiarowym, w którym na podstawie uprzednio przeprowadzonych obliczeń, stwierdzono występowanie w danych zakresach częstotliwości pól elektromagnetycznych o poziomach zbliżonych do poziomów dopuszczalnych, określonych w przepisach wydanych na podstawie art. 122 ust. 1 ustawy z dnia 27 kwietnia 2001 r. – Prawo ochrony środowiska nie stwierdzono występowania zabudowy mieszkalnej.

10. Omówienie wyników pomiarów

W związku z tym, że żadna z wartości zmierzonych, udokumentowanych w tabelach w pkt. 9, uzyskanych w skutek zastosowania pomiaru szerokopasmowego, powiększonego o rozszerzoną niepewność pomiaru U dla współczynnika rozszerzenia $k = 2$ nie przekroczyła 70% najniższej dopuszczalnej wartości składowej elektrycznej lub magnetycznej pola dla objętych pomiarami zakresów częstotliwości, nie uwzględnia się poprawek pomiarowych.

W wyniku zastosowania sposobu sprawdzenia dotrzymania dopuszczalnych poziomów pól elektromagnetycznych w środowisku, zgodnie pkt 25 ppkt 1 Rozporządzenia Ministra Klimatu z dnia 17 lutego 2020 r. (Dz. U. 2022, poz. 2630), w związku z tym, że żadna z wartości wskaźnikowych, udokumentowanych w tabelach w pkt. 9 nie przekracza wartości 1, stwierdza się, że w miejscach, w których wykonano pomiary w otoczeniu instalacji radiokomunikacyjnej 3561 (35151N!) WODZISŁAW RADLIN (KRY_RADLIN_MARCEL), dopuszczalne poziomy pól elektromagnetycznych w środowisku należy uznać za dotrzymane.

Miejsca niedostępne podczas wykonywania pomiarów wskazane zostały w pkt. 9 (Wyniki pomiarów) lub na załączniku przedstawiającym usytuowanie pionów pomiarowych.

11. Podstawa prawna

- 1) Ustawa z dnia 27 kwietnia 2001 r. Prawo ochrony środowiska (T. j. Dz. U. z 2025 r., poz. 647 z późn. zm.)
- 2) Rozporządzenie Ministra Zdrowia z dnia 17 grudnia 2019 r. w sprawie dopuszczalnych poziomów pól elektromagnetycznych w środowisku (Dz. U. 2019, poz. 2448)
- 3) Rozporządzenie Ministra Klimatu z dnia 17 lutego 2020 r. w sprawie sposobów sprawdzania dotrzymania dopuszczalnych poziomów pól elektromagnetycznych w środowisku (Dz. U. 2022, poz. 2630),
- 4) Akredytacja nr AB 419 wydana przez Polskie Centrum Akredytacji (wydanie 23, z dnia 5 marca 2024 r.)

12. Spis załączników

- Załącznik 1. Lokalizacja obiektu badań
- Załącznik 2. Usytuowanie pionów (punktów) pomiarowych
- Załącznik 3. Dokumentacja fotograficzna obiektu badań

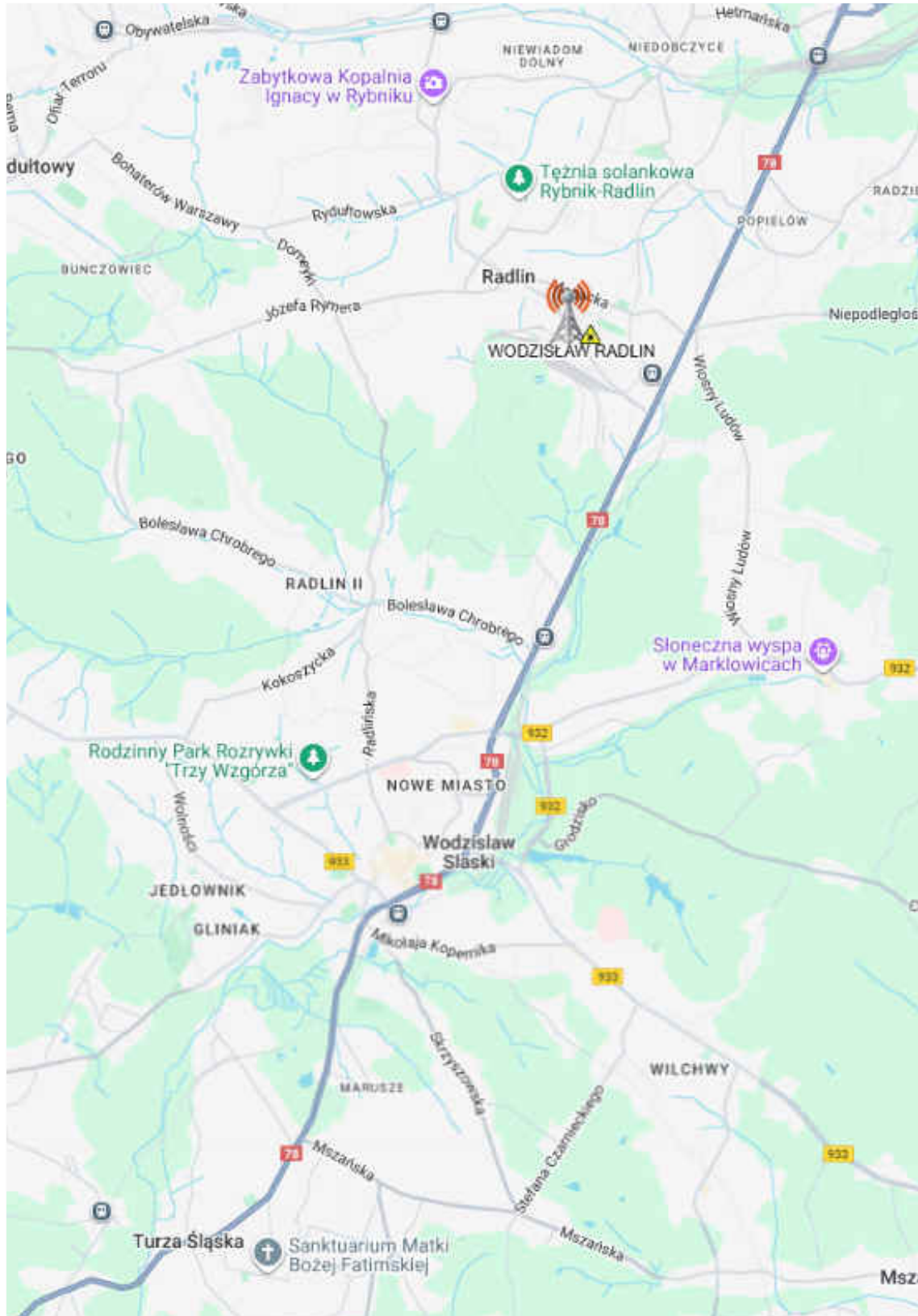
13. Data wydania i autoryzowania sprawozdania

Obliczenia i sprawozdanie wykonał :

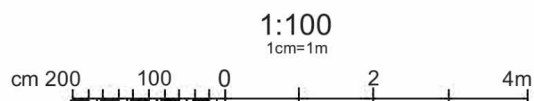
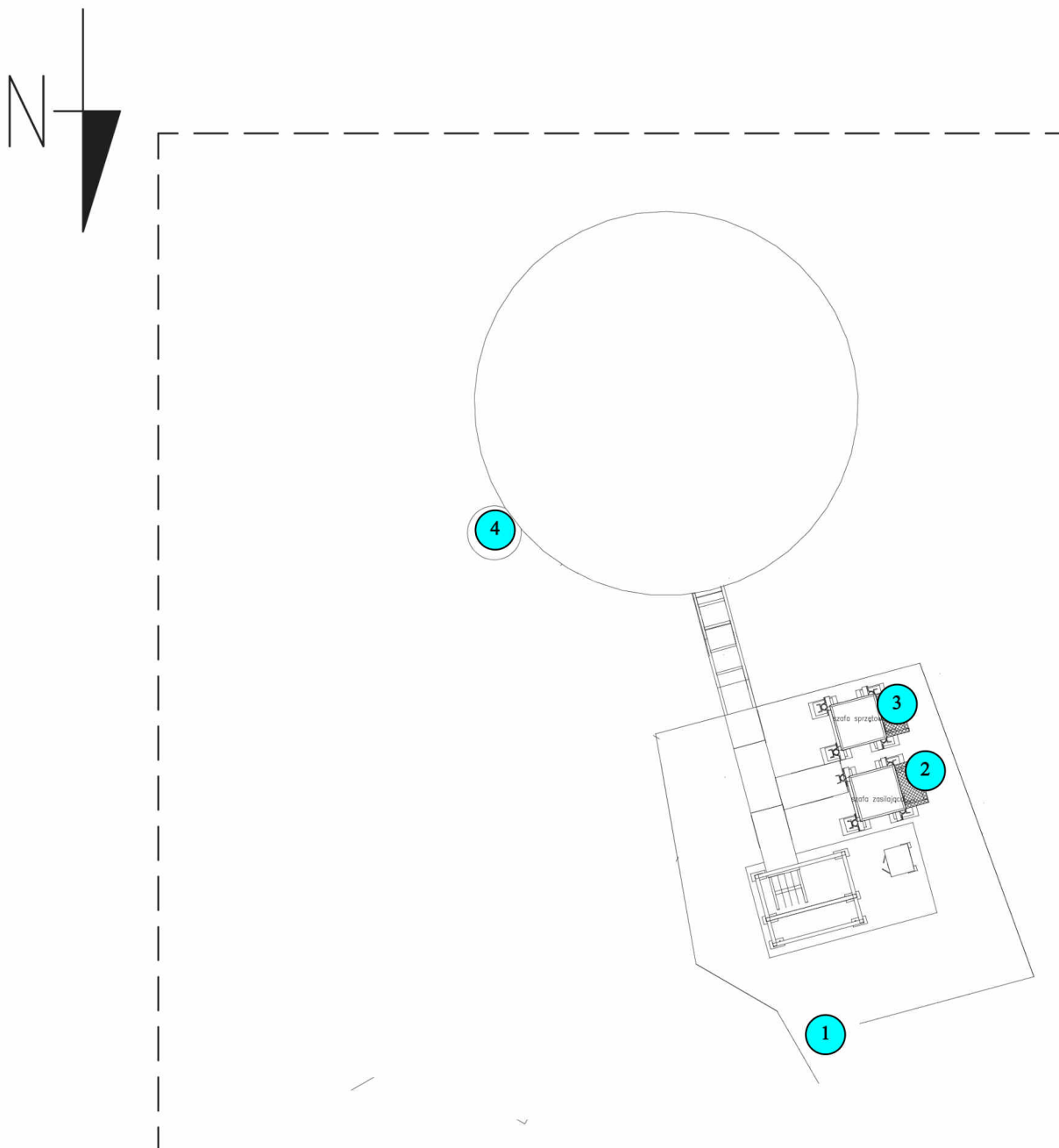
Sprawozdanie autoryzował:


Koniec sprawozdania

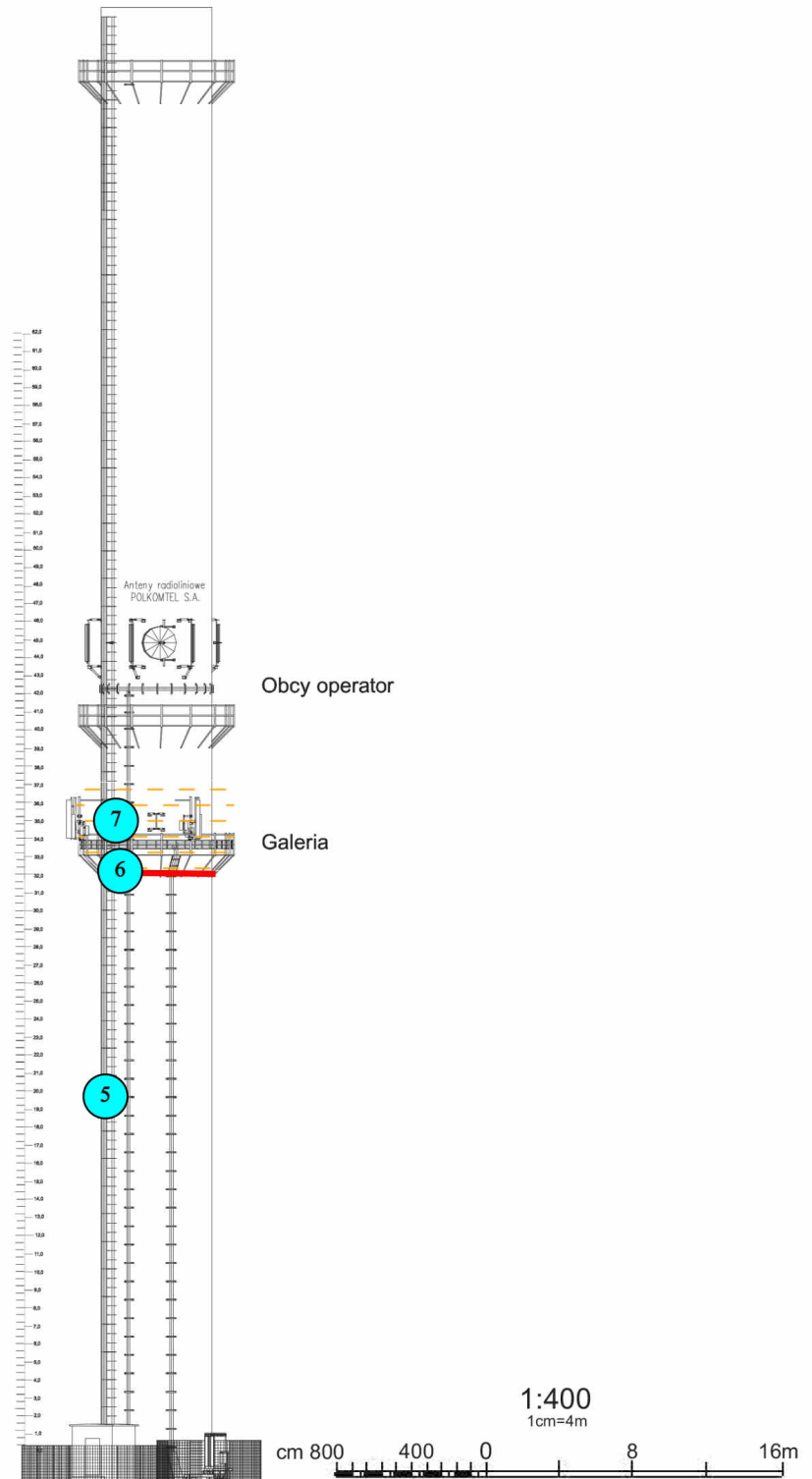
Sprawozdanie z badań bez pisemnej zgody laboratorium nie może być powielane inaczej niż w całości.
Wynik przedstawione w niniejszym sprawozdaniu odnoszą się wyłącznie do badanego obiektu i do warunków i konfiguracji urządzeń w dniu wykonywania pomiarów.












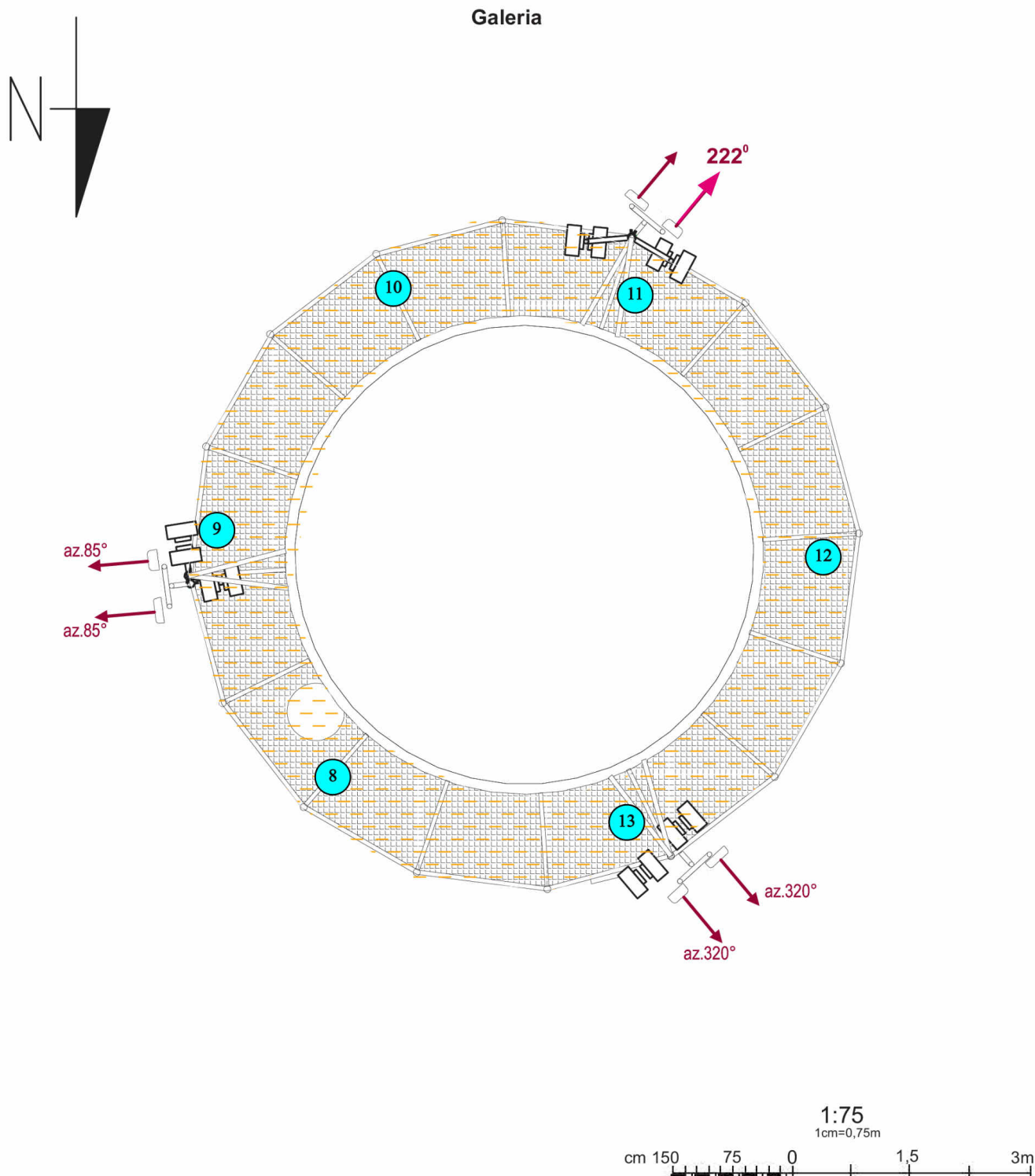
Załącznik nr 1	<p style="text-align: center;">Instalacja radiokomunikacyjna Orange Polska S.A. 3561 (35151N) WODZISŁAW RADLIN (KRY_RADLIN_MARCEL)</p> <p style="text-align: center;">Lokalizacja instalacji</p>
----------------	--

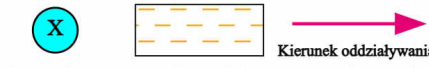


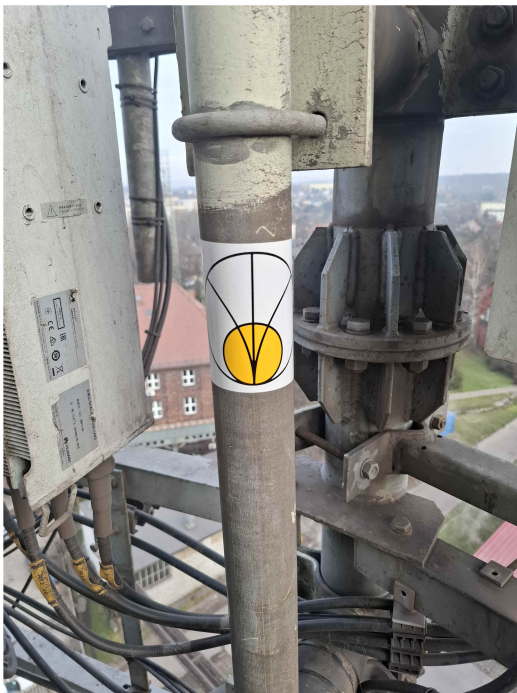
Załącznik nr 2	<p>Instalacja radiokomunikacyjna Orange Polska S.A. KRY_RADLIN_MARCEL (35151N!) Usytuowanie pionów pomiarowych na przyziemiu</p>
	<p>Legenda:</p> <p> Pion pomiarowy</p>



Załącznik nr 3	<p>Instalacja radiokomunikacyjna Orange Polska S.A. KRY_RADLIN_MARCEL (35151N!) Usytuowanie pionów pomiarowych na drabinie wejściowej</p>						
	<p>Legenda:</p> <table style="width: 100%; border: none;"> <tr> <td style="text-align: center;"></td> <td style="text-align: center;"></td> <td style="text-align: center;"></td> </tr> <tr> <td style="text-align: center;">Pion pomiarowy</td> <td style="text-align: center;">Strefa pośrednia</td> <td style="text-align: center;">Granica stref</td> </tr> </table>				Pion pomiarowy	Strefa pośrednia	Granica stref
							
Pion pomiarowy	Strefa pośrednia	Granica stref					



Załącznik nr 4	Instalacja radiokomunikacyjna Orange Polska S.A. KRY_RADLIN_MARCEL (35151N!) Usytuowanie pionów pomiarowych na galerii
	Legenda:  Pion pomiarowy Strefa pośrednia Kierunek oddziaływania anten sektorowych



Załącznik nr 5	<p style="text-align: center;">Instalacja radiokomunikacyjna Orange Polska S.A. 3561 (35151N!) WODZIŚLAW RADLIN (KRY_RADLIN_MARCEL)</p> <p style="text-align: center;">Dokumentacja fotograficzna</p>
----------------	---